

ČESKÝ
HYDROMETEOROLOGICKÝ
ÚSTAV

POKUS O STATISTICKOU PŘEDPOVĚD ZNEČIŠTĚNÍ OVZDUŠÍ

Josef Keder

ČHMÚ ÚOČO, Observatoř Tušimice,

keder@chmi.cz



Proč statistická předpověď – motivace (1)

Možnost předpovědět úroveň znečištění ovzduší na určité lokalitě s předstihem alespoň jednoho dne je předmětem zájmu orgánů, zodpovědných za ochranu kvality ovzduší a zdraví, i široké veřejnosti

Prognóza počasí pomocí numerických předpovědních modelů je provozována v operativním režimu již řadu let a stále se zlepšuje díky inovacím v měřicích metodách, fyzikálně-numerických postupech a používané výpočetní technice

Imisní koncentrace znečišťujících látek jsou z rozhodující části determinovány stavem a vývojem atmosférických podmínek

Postupy předpovědi znečištění ovzduší proto logicky navazují na meteorologické modely a používají jejich prognostické produkty jako vstupní údaje

Proč statistická předpověď – motivace (2)

Zkušenosti, získané s deterministickým přístupem, t.j. předpověď typu
„zítra bude v místě X dosažena denní průměrná koncentrace C_x “
ukázaly, že kvalita takto pojaté předpovědi je často značně neuspokojivá

Velkou měrou se na tom podílí chaotický, stochastický charakter systému
atmosféra-znečišťující látka

Podobně jako v případě meteorologických předpovědí se proto pozornost upírá
i na vývoj a využití metod statistických předpovědí

Poskytují výsledek ve tvaru

**„zítra bude v místě X překročena denní průměrná koncentrace C_x
s pravděpodobností $P(C_x)$ “**

Možná je rovněž formulace typu

„koncentrace, která bude překročena s pravděpodobností P , je rovna C_p “

Statistická předpověď

Jak může vzniknout statistická předpověď

Použije se vhodná statistická metoda (regresní vztahy, neuronové sítě, fuzzy postupy, GAMs..), stanoví se nejistoty výsledku

Ansámblová předpověď - opakovaný běh deterministického modelu s variací vstupních parametrů

Jiný přístup, demonstrován dále

Návrh jednoduché metody

Podstata postupu – učení z historických dat, soubor koncentrací dostatečného rozsahu pro určitou lokalitu

- Soubor se rozdělí do podmnožin (kategorií) podle vhodných kritérií
- Musí být předpověditelné, která podmnožina se vyskytne
- Pro každou kategorii se stanoví statistické rozložení koncentrací, které umožňuje odhad pravděpodobnosti výskytu určité hodnoty koncentrace nebo překročení prahových hodnot
- Máme-li předpověď určité kategorie, můžeme predikovat pravděpodobnosti překročení

Jak stanovit kategorie

Použijí se meteorologické veličiny, které významně ovlivňují imisní koncentrace: výška směšovací vrstvy, rychlost větru, teplota vzduchu...

Osvědčené z jiných studií

- Ventilační index VI – zahrnuje výšku MH a rychlost větru
- Teplota vzduchu T

Jsou vcelku dobře predikované metrologickými modely v provozním režimu – ALADIN

V této fázi postup použít na denní průměry koncentrace PM_{10} , měřené 06 – 06 UTC (aby bylo možno využít i manuálních stanic)
VI a T rovněž jako denní průměry 06 – 06 UTC

Výběr hranic kategorií

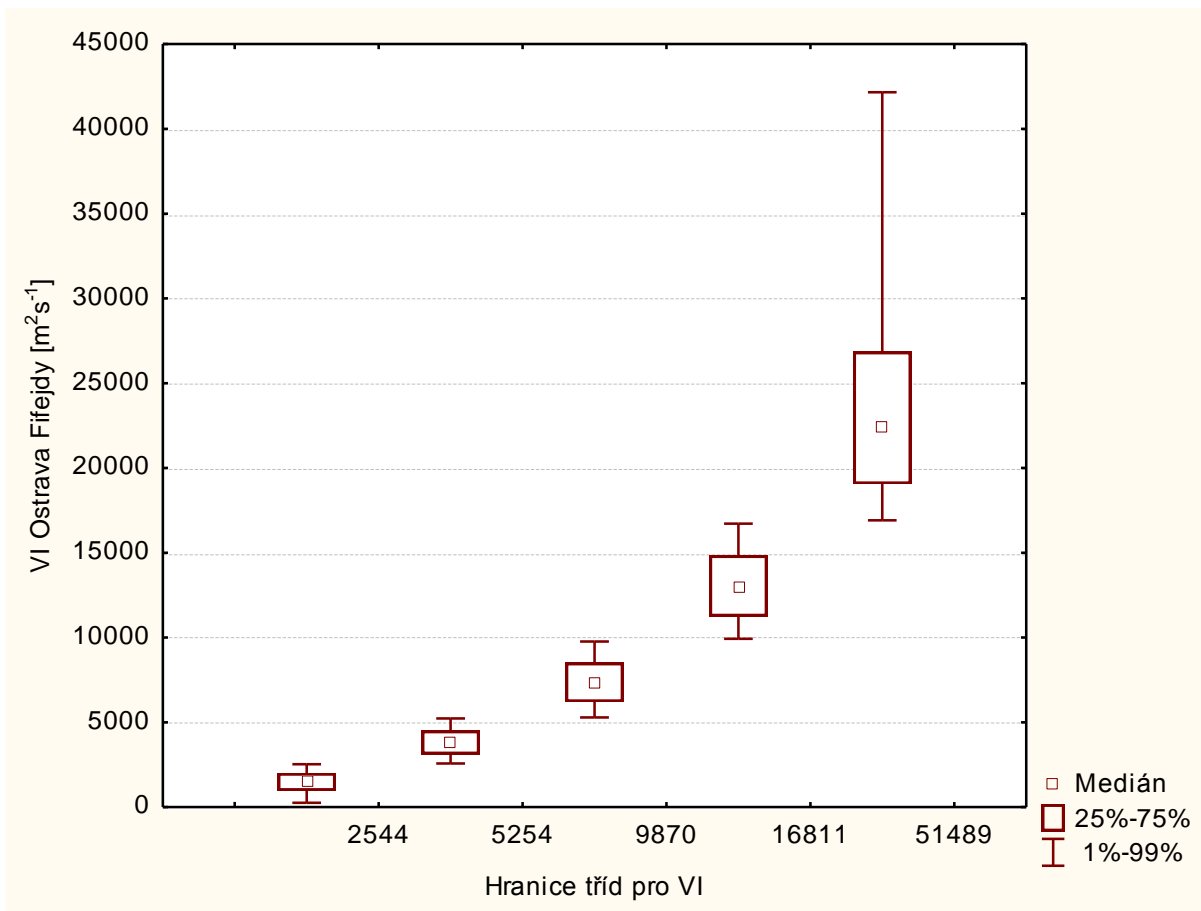
Podle denních průměrů VI a T

Hranice stanoveny jako 2., 4., 6., 8. a 10. decil souborů VI a T

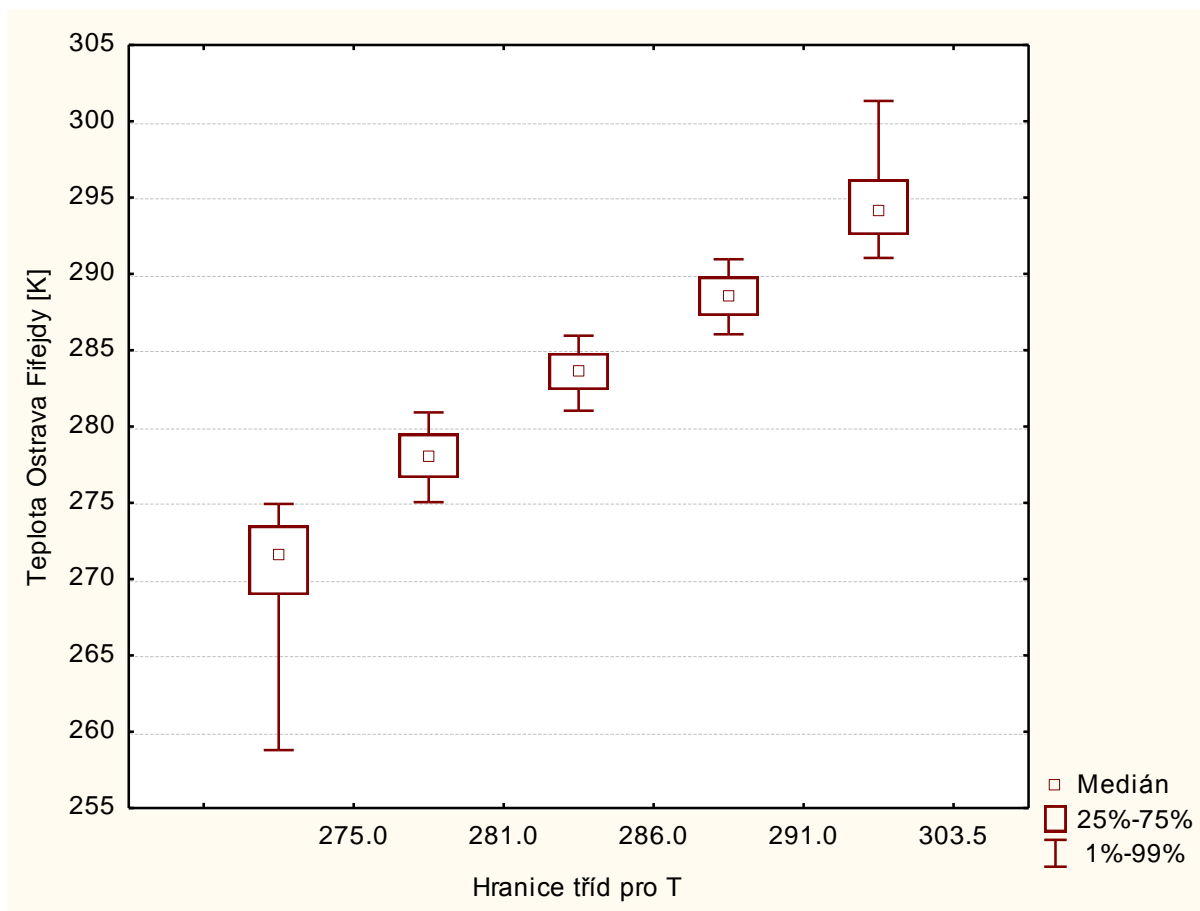
V každé kategorii je stejný a dostatečný počet hodnot

Kategorie se nepřekrývají

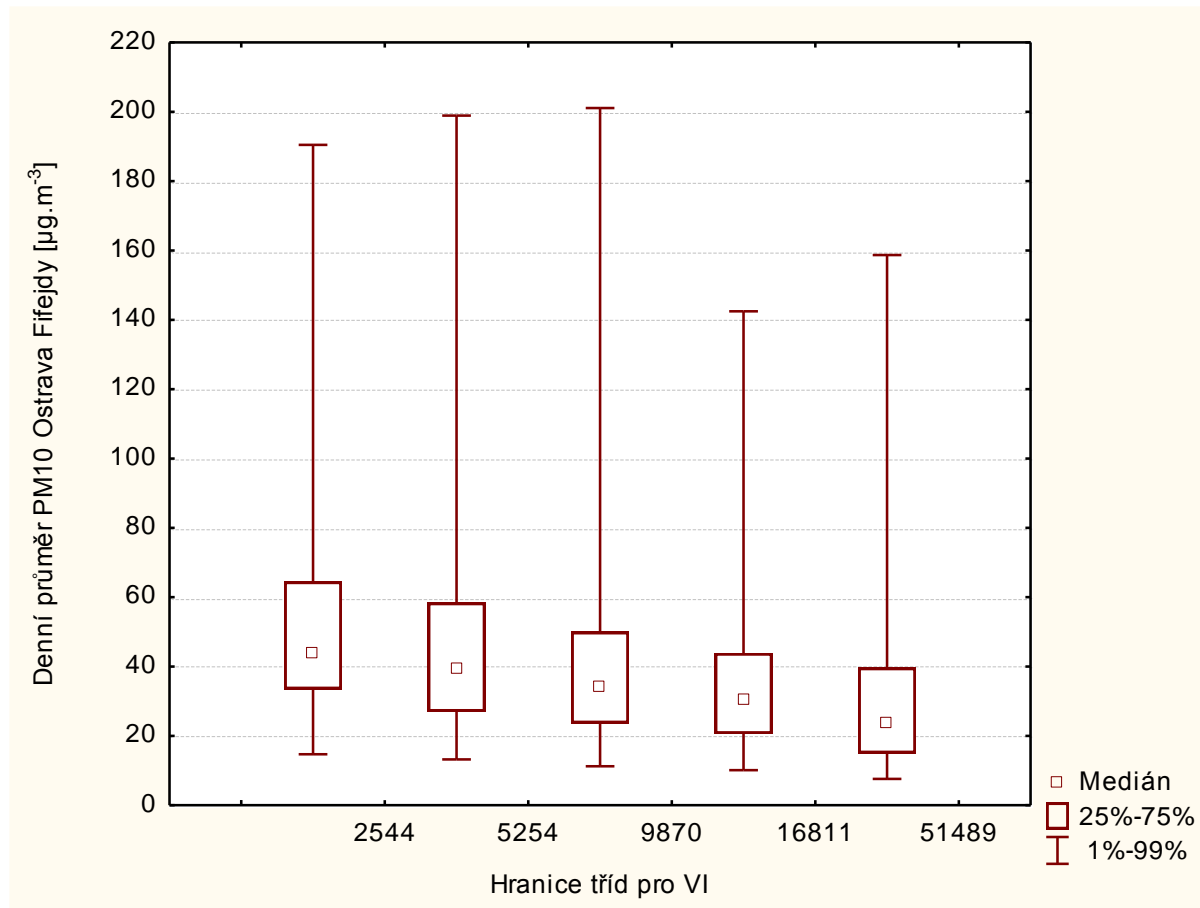
Lokalita O. Fifejdy – rozložení VI pro hranice, stanovené jako sudé decily



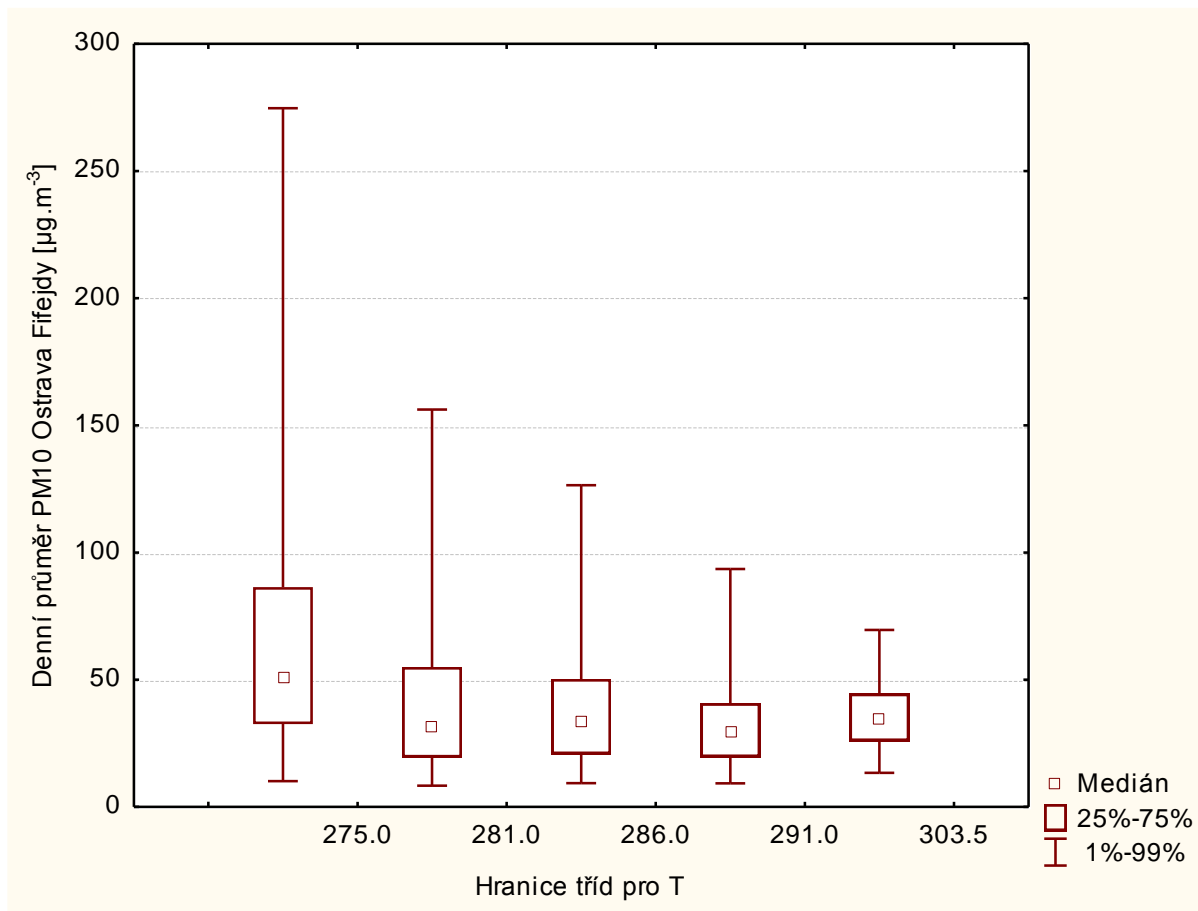
Lokalita O. Fifejdy – rozložení T pro hranice, stanovené jako sudé decily



Lokalita O. Fifejdy – rozložení PM_{10} pro hranice VI, stanovené jako sudé decily



Lokalita O. Fifejdy – rozložení PM_{10} pro hranice T, stanovené jako sudé decily



Vývoj pokusného modelu (1)

Použitá data: koncentrace PM_{10} , teplota vzduchu a
ventilační index pro lokalitu Ostrava-Fifejdy
a další místa za roky 2004 - 2013
(denní průměru 60-06 UTC)

Roky 2004 – 2012 učební soubor

Rok 2013 soubor pro validaci (tato data model „nezná“)

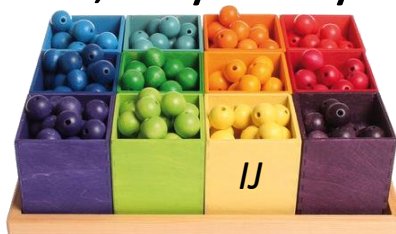
Vytvoří se 25 „krabiček“ kombinací 5 kategorií pro VI
a 5 kategorií pro T

Vývoj pokusného modelu (2)

25 „krabiček“ – tříd pro kombinace kategorií VI a T,
označeno 11 až 55

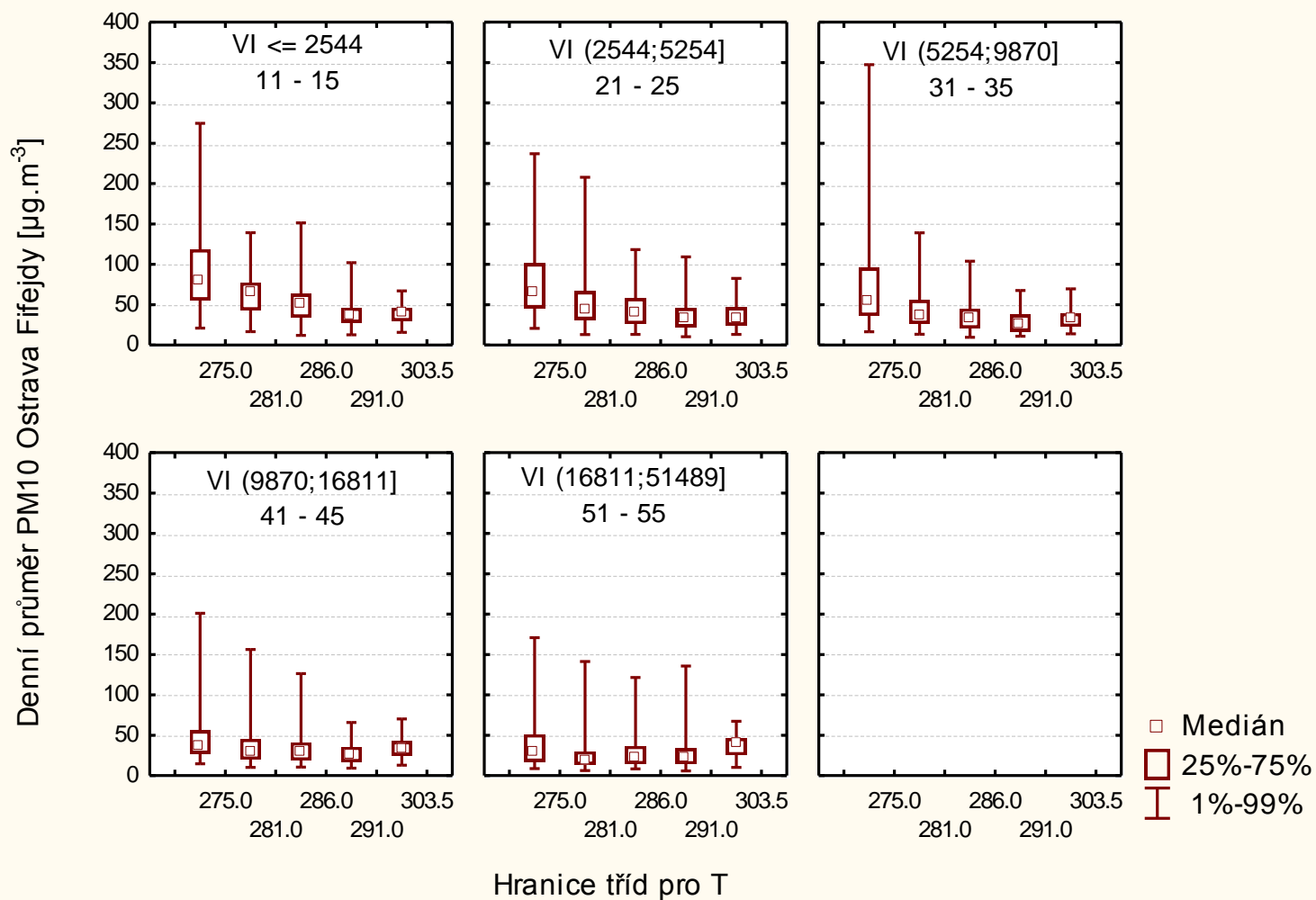
T	1	<275	11	12	13	14	15
	2	275-281	21	22	23	24	25
	3	281-286	31	32	33	34	35
	4	286-291	41	42	43	44	45
	5	291-303.5	51	52	53	54	55
		<2544	2544-5254	5254-9870	9870-16811	16811-51489	
		1	2	3	4	5	
				VI			

Do „krabiček“ *IJ* se nasypou denní koncentrace PM_{10} , které byly naměřeny ve dnech, kdy se vyskytla *I-tá* katgorie VI a *J-tá* kategorie T



Zjistí se statistická rozložení PM_{10} v jednotlivých krabičkách a jejich percentily

Rozložení PM₁₀ v „krabičkách“



Příklad výstupu modelu (1)

Pravděpodobnosti překročení prahových hodnot pro denní koncentrace PM_{10} kategoriích 11 a 12, odvozené z percentilů rozložení

		Kategorie									
		11	12	13	14	15	21	22	23	24	25
Pravděpodobnost překročení prahové koncentrace pro denní průměr	25	0.995	0.993	0.966	0.879	0.804	0.952	0.909	0.927	0.730	0.612
	50	0.772	0.775	0.540	0.218	0.117	0.649	0.610	0.393	0.143	0.093
	75	0.509	0.309	0.233	0.041	0.000	0.359	0.309	0.132	0.028	0.000
	100	0.327	0.198	0.078	0.000	0.000	0.235	0.220	0.051	0.004	0.000
	125	0.207	0.081	0.015	0.000	0.000	0.170	0.129	0.005	0.000	0.000
	150	0.076	0.048	0.009	0.000	0.000	0.116	0.053	0.000	0.000	0.000
	175	0.047	0.019	0.000	0.000	0.000	0.067	0.038	0.000	0.000	0.000
	200	0.039	0.008	0.000	0.000	0.000	0.037	0.014	0.000	0.000	0.000
	225	0.023	0.000	0.000	0.000	0.000	0.028	0.000	0.000	0.000	0.000
	250	0.016	0.000	0.000	0.000	0.000	0.013	0.000	0.000	0.000	0.000
	275	0.011	0.000	0.000	0.000	0.000	0.008	0.000	0.000	0.000	0.000
	300	0.008	0.000	0.000	0.000	0.000	0.001	0.000	0.000	0.000	0.000
	325	0.005	0.000	0.000	0.000	0.000	0.000	0.000	0.000	0.000	0.000
	350	0.002	0.000	0.000	0.000	0.000	0.000	0.000	0.000	0.000	0.000
	375	0.000	0.000	0.000	0.000	0.000	0.000	0.000	0.000	0.000	0.000
	400	0.000	0.000	0.000	0.000	0.000	0.000	0.000	0.000	0.000	0.000
	425	0.000	0.000	0.000	0.000	0.000	0.000	0.000	0.000	0.000	0.000
	450	0.000	0.000	0.000	0.000	0.000	0.000	0.000	0.000	0.000	0.000
	475	0.000	0.000	0.000	0.000	0.000	0.000	0.000	0.000	0.000	0.000
	500	0.000	0.000	0.000	0.000	0.000	0.000	0.000	0.000	0.000	0.000

Příklad výstupu modelu (2)

Hodnoty denní koncentrace PM_{10} kategoriích 11 a 12, které mohou být překročeny se zadanou pravděpodobností.

Odvozeno z percentilů rozložení

		Kategorie									
		11	12	13	14	15	21	22	23	24	25
Denní průměr, který bude překročen se zadanou pravděpodobností	0.99	31.2	30.4	20.2	16.2	13.7	19.1	14.3	18.8	11.6	13.1
	0.95	34.1	33.2	26.8	19.4	18.2	25.3	19.9	21.8	16.4	15.4
	0.9	36.9	39.2	30.0	23.4	20.0	30.5	27.0	27.0	19.8	18.1
	0.85	41.0	42.7	34.6	26.9	21.9	35.5	30.5	30.9	21.4	18.9
	0.8	45.1	46.3	35.7	28.5	25.2	37.8	33.6	32.0	23.0	19.9
	0.75	50.6	51.2	37.9	31.0	28.2	41.8	37.1	33.6	24.5	21.7
	0.7	58.9	53.9	41.2	32.0	29.5	46.3	42.9	36.4	25.7	22.6
	0.65	65.3	55.4	43.4	33.8	30.8	49.9	46.4	38.0	27.4	24.0
	0.6	69.8	56.3	45.2	35.3	32.5	54.5	51.6	40.1	30.2	25.1
	0.55	72.4	59.1	49.7	37.1	34.7	58.5	56.5	41.9	31.9	26.8
	0.5	76.0	62.0	52.5	39.0	36.5	60.8	61.5	44.5	33.3	28.2
	0.45	82.5	66.2	53.6	40.2	37.8	63.5	64.5	46.0	34.5	29.6
	0.4	90.8	67.8	56.7	41.5	39.6	69.5	69.8	49.7	36.4	30.6
	0.35	94.3	71.9	60.7	43.9	40.8	75.2	71.8	51.9	38.1	33.0
	0.3	105.4	78.9	65.6	45.9	42.9	87.6	75.4	56.7	40.2	35.8
	0.25	115.0	89.7	73.0	47.4	44.6	96.7	93.0	59.8	43.9	40.6
	0.2	126.8	99.9	79.5	51.0	45.8	111.1	107.3	63.6	47.7	44.8
	0.15	133.6	110.6	84.7	55.2	47.8	129.7	118.3	73.8	49.8	47.4
	0.1	144.1	122.0	91.9	61.1	52.2	155.5	130.3	81.0	54.1	49.5
	0.05	162.0	144.9	104.4	67.3	56.5	190.7	152.4	100.1	62.0	56.2
0.01	276.4	192.2	143.3	92.5	65.6	261.6	202.5	116.0	82.9	60.9	
0.001	351.3	221.5	158.9	98.9	70.2	298.0	207.3	133.5	110.5	62.7	
0	359.6	224.8	159.9	99.9	70.8	301.7	207.8	136.0	115.1	62.9	

Postup predikce

Z NWP modelu (ALADIN) se získají předpovědi denních průměrů ventilačního indexu a teploty pro lokalitu

Zjistí se, mezi které meze pro VI a T předpovězené hodnoty padnou, určí se krabička *IJ*

Stanoví se pravděpodobnosti překročení jednotlivých prahových jednotlivých prahových hodnot pro predikovaný den

Prahové hodnoty je možno stanovit i jinak, než je v popisu uvedeno

Testování modelu

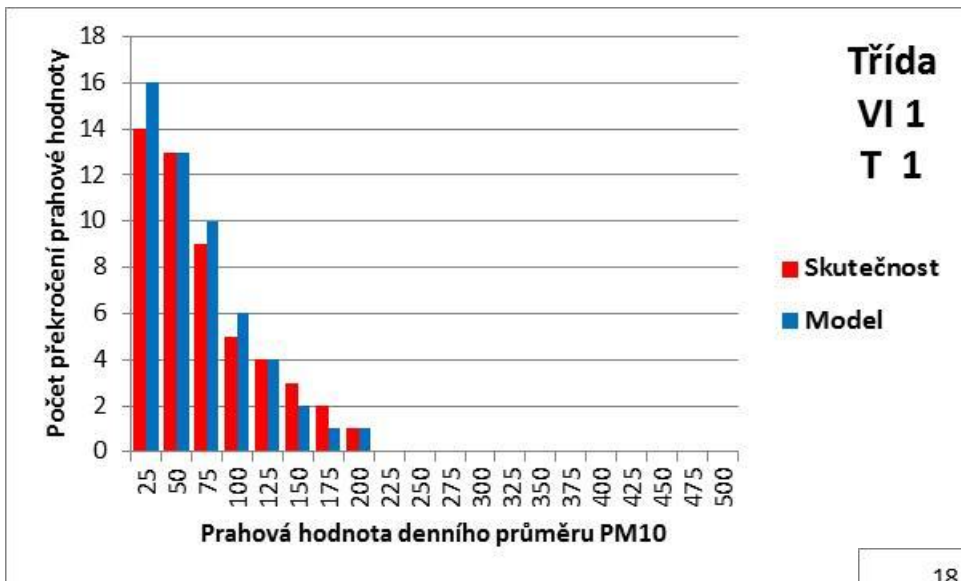
Na datech z roku 2013, které model nezná

Ze známých VI a T pro každý den pro jednotlivé kategorie stanoveny počty překročení prahových hodnot z naměřených dat a teoretické počty překročení podle modelu

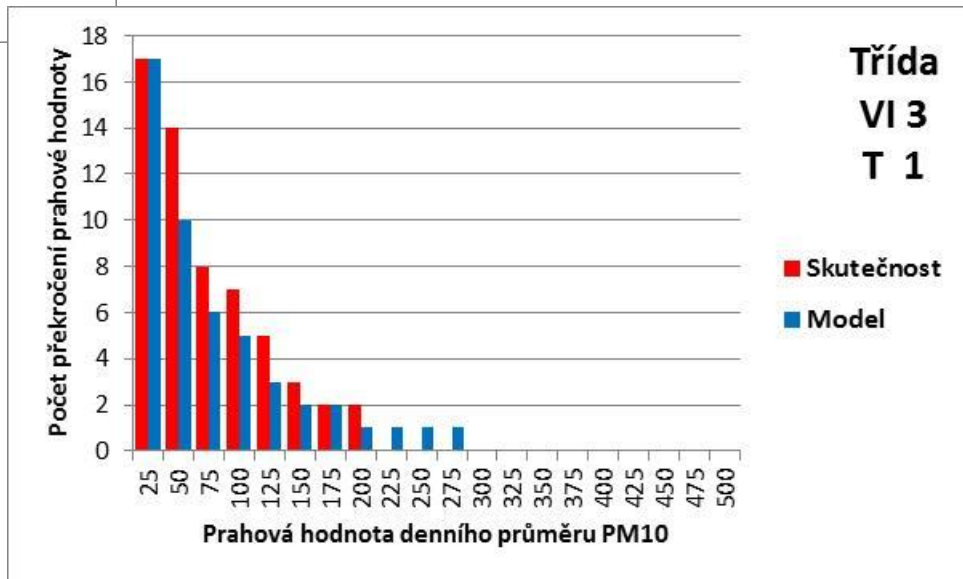
*= celkový počet výskytu dané kategorie * pravděpodobnost překročení prahu*

Grafické porovnání pro jednotlivé kategorie i pro celý soubor roku 2013

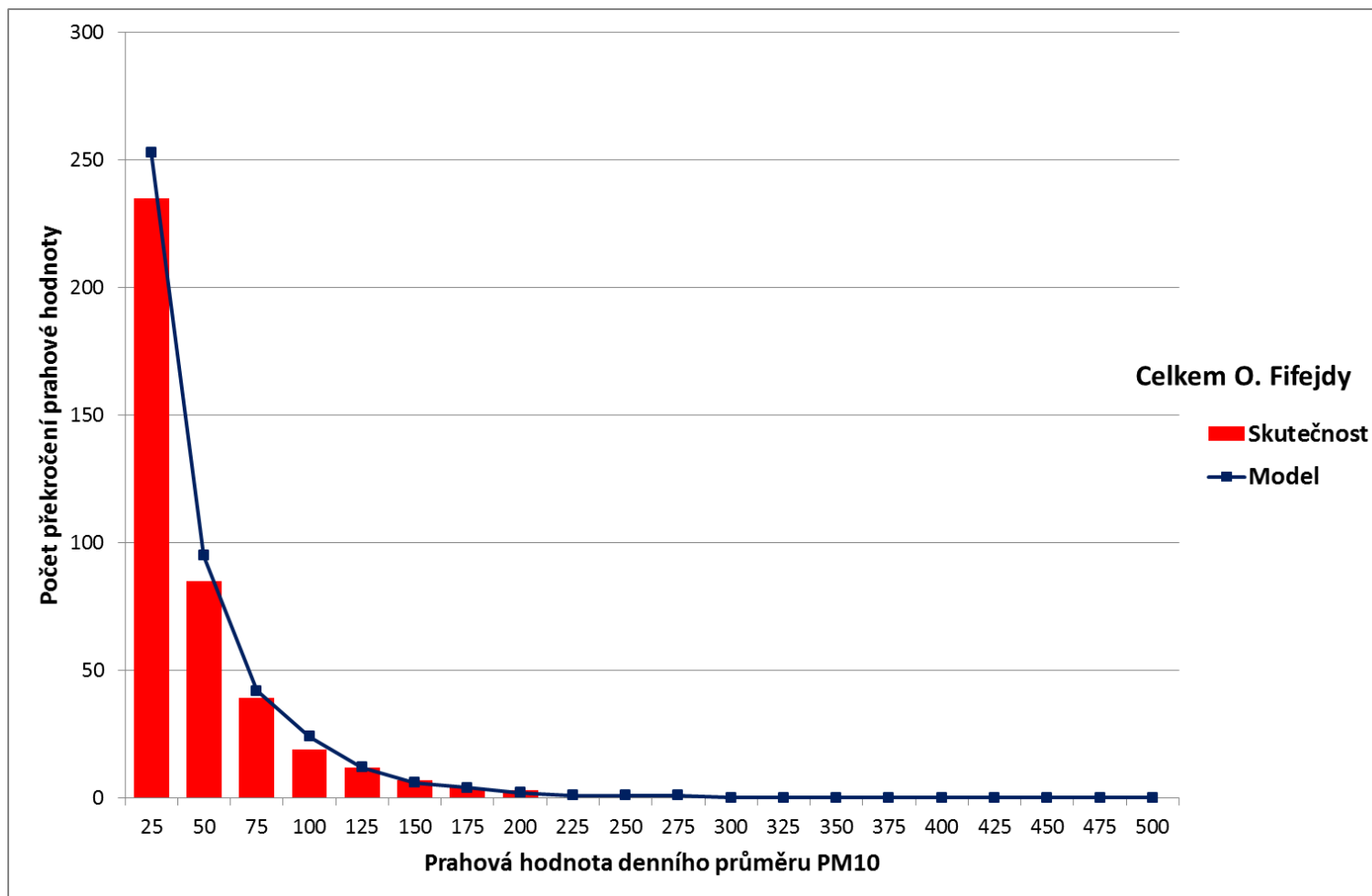
Výsledky testování modelu - kategorie



Ostrava - Fifejdy

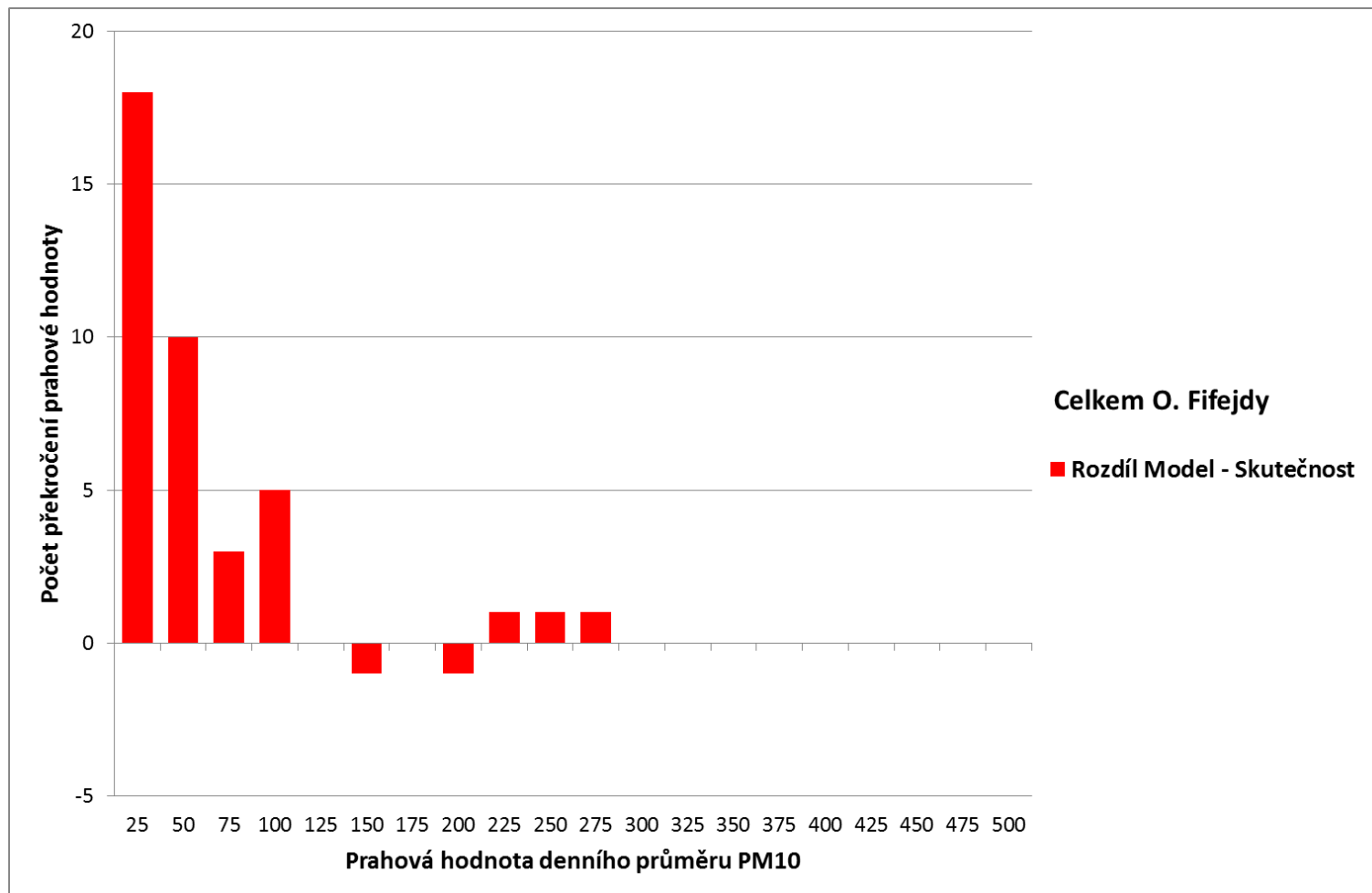


Výsledky testování modelu – celý soubor

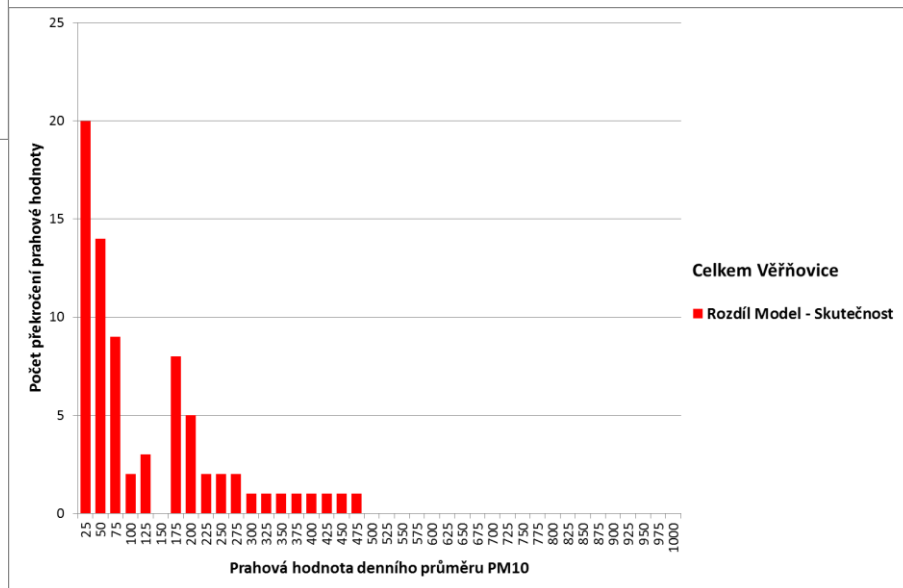
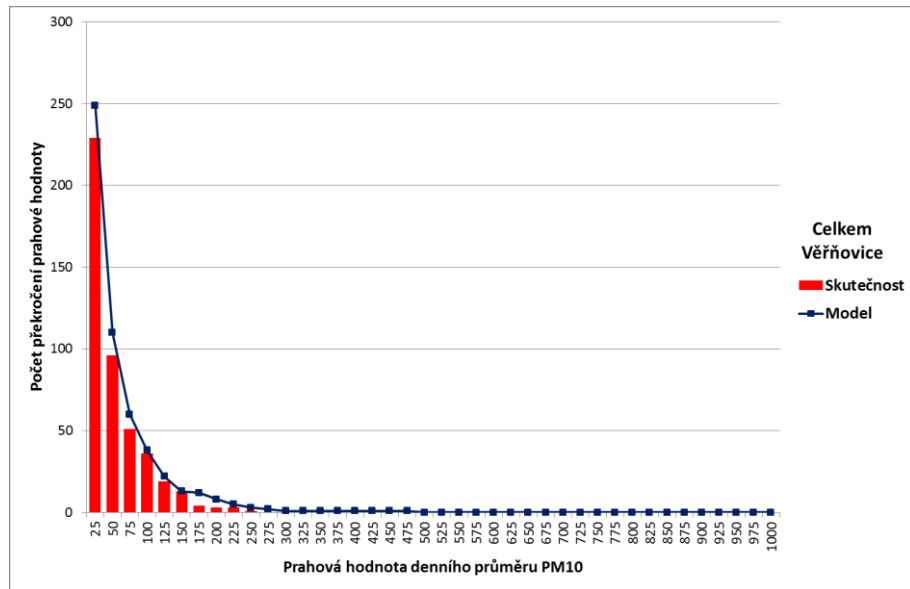


Výsledky testování modelu

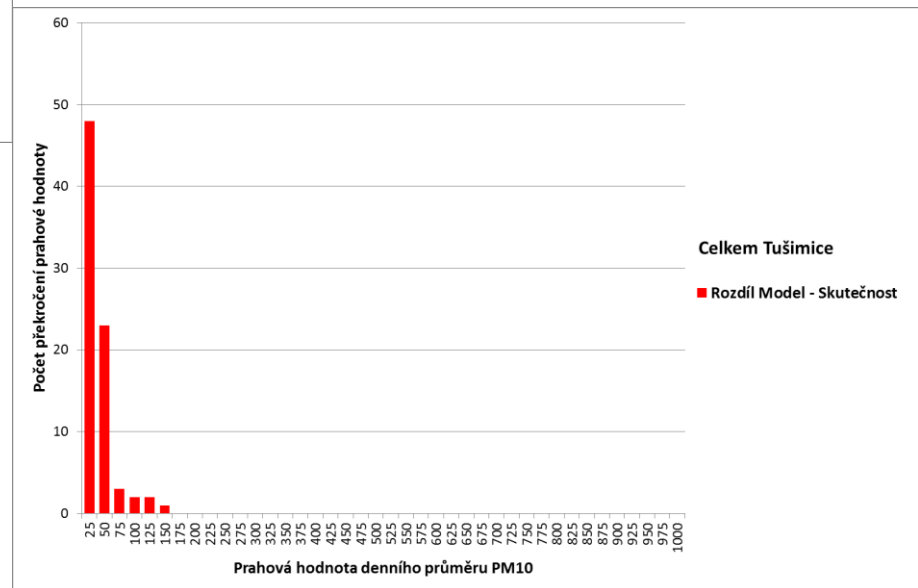
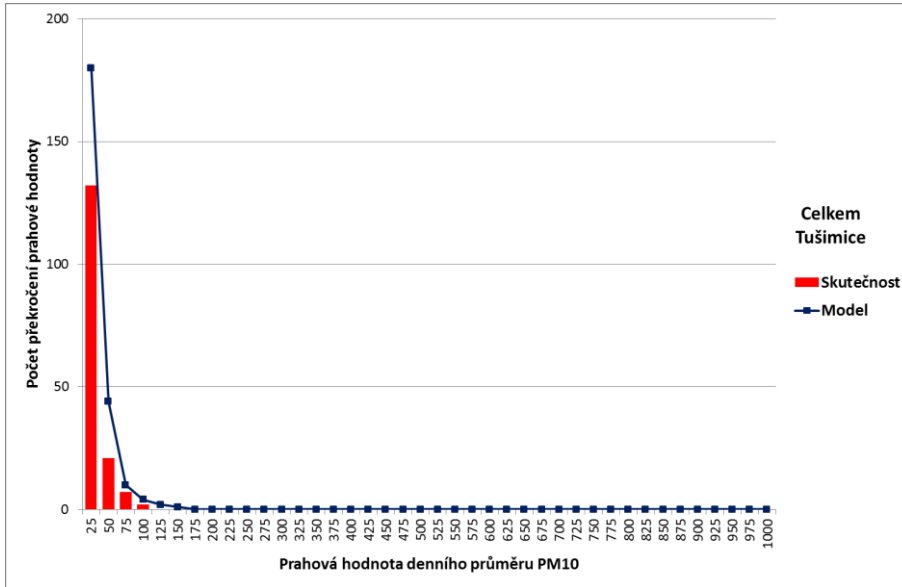
Rozdíly *model-skutečnost*



Výsledky testování modelu – Věřňovice



Výsledky testování modelu – Tušimice



Závěry a další možný vývoj

Model si vede docela dobře na naměřených datech

Až se použijí **predikované** hodnoty VI a T z NWP modelu, bude hůř

V dalším možno provést

- ověření na datech za 2013 a 2014
- ověření křížovou validací na naměřených datech 2004 - 2012
- testování s predikovanými VI a T

Vyvinout modely pro všechny stanice s měřením denních průměrů PM_{10}

Každý rok modely aktualizovat ze získaných dat PM_{10} , VI, T